

# Classificador automático de imagens

André Almeida  
RA: 164047  
fda.andre@gmail.com

Igor Torrente  
RA: 169820  
igortorrente@hotmail.com

## I. RESUMO

Nesse trabalho, estudamos técnicas de aprendizado de máquina e reconhecimento de padrões para obter um modelo eficiente de classificação automática de imagens. Nosso modelo classifica 10 classes de imagens: avião, carro, pássaro, gato, veado, cão, sapo, cavalo, navio e caminhão. As técnicas estudadas variaram de regressão logística até redes neurais artificiais com uma e duas camadas. Durante o estudo coletamos resultados experimentais e chegamos no modelo mais viável dentro das técnicas utilizadas.

## II. INTRODUÇÃO

### A. Classificador automático de imagens

O problema de classificar imagens vem sendo amplamente estudado pela comunidade acadêmica [1]–[3]. Soluções podem ser aplicadas em diversas áreas do conhecimento, desde biomedicina até segurança pública. Um caso de estudo em destaque é a competição ImageNet [4], onde as equipes deveriam, a partir de uma grande banco de dados de imagens classificadas, obter a maior precisão possível com um algoritmo de classificação automática. Em 2012, a competição testemunhou um avanço muito significativo: enquanto os campeões de 2010 e 2011 conseguiam, respectivamente, 28% e 26% de erro, os pesquisadores conseguiram atingir um erro de 16% aplicando técnicas de aprendizagem profunda [5]. A partir de então, todos os ganhadores utilizaram técnicas baseadas nesse mesmo princípio até que em 2015 os ganhadores obtiveram 3.5% de erro, ficando abaixo do erro humano.

### B. Regressão logística e redes neurais artificiais

Regressão logística é um modelo empregado em aprendizado de máquina na área de aprendizado supervisionado, comumente usado para estimar a probabilidade de um exemplo estar em uma classe. Se a chance for maior que 50%, o modelo diz que esse exemplo faz parte da classe, caso contrário, ele não faz parte. Essa regressão faz uma soma ponderada da entrada e retorna o resultado da função sigmoid dessa soma (um número entre [0,1]). [6]

Rede neural artificial é uma coleção de unidades chamadas neurônios que são interligados entre si com uma ordem (camada), com inspiração biológica no funcionamento do cérebro humano. Cada neurônio de uma camada se liga a todos os neurônios da anterior (se não for a camada de entrada) e da posterior (se não for a camada de saída). Cada neurônio é ativado de acordo com uma função de ativação, os parâmetros dessa função de ativação são as saídas dos neurônios anteriores

multiplicados por um peso nas arestas que conectam estes neurônios [6].

Nesse trabalho estamos usando ambas técnicas para fazer experimentos em classificação.

### C. Base de dados

A base de dados empregada para treinamento do problema foi a CIFAR-10 [7], que contém 60 mil imagens PNG 32x32 coloridas categorizadas nas dez classes que propomos em classificar. Cada imagem então é armazenada em um *numpy array* com 3072 números inteiros, de 0 à 255. Os 3072 representam os 1024 pixels de cada cor RGB. As classes ficam em um vetor de inteiros, onde cada número, de 0 à 9, representa uma classe.

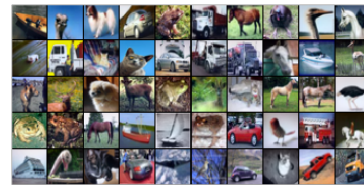


Figura 1: Amostra de imagens do banco

### D. Tecnologias empregadas

Utilizamos a biblioteca *sklearn* [8] do *Python* para as chamadas de pre-processamento de dados e treinamento das funções classificadoras. O *Jupyter* foi escolhido como ambiente de desenvolvimento.

### E. Infraestrutura computacional

Os recursos computacionais foram:

- Computador com um processador Intel Core i7-3537U (2.00GHz × 4) e com 7,7 GiB disponíveis de memória RAM com Arch Linux;
- Máquina virtual com 4 núcleos virtuais do processador IBM Power8, com 16GB de RAM e Ubuntu 17.04;
- Computador com core i5 4440, 8 GB de Ram e Windows 10.

## III. TRATAMENTO DE DADOS

Devido ao tamanho dos dados (um vetor de 3072 inteiros), para obter uma performance melhor, foi aplicada uma redução de dimensionalidade com PCA [9]. Além disso, como sugerido por [10], as bordas da imagem contêm informação menos relevante que o centro, e, além de otimizar as computações, isso também aumentaria a precisão, fazendo o algoritmo focar na parte principal da imagem e com conteúdo relevante.

Também foi considerado o uso de LDA, porém nenhum computador conseguiu dispor de memória RAM suficiente na hora do cálculo, tornando inviável essa técnica.

Como também será explorado nas seções seguintes, a utilização do PCA gerou resultados melhores e diminui o tempo necessário de processamento. Conforme resultados abaixo, foi adotado aproximadamente 93% de redução no PCA nos dados das soluções propostas.

% de PCA	Tempo (s)	Score
Sem PCA	1232	0.3624
85	23	0.3639
93	14	0.378
95	18	0.3765
97	41	0.3737

**Tabela 1.** Exemplo de treinos de regressão logística com uso de PCA no mesmo conjunto de dados

#### IV. SOLUÇÕES PROPOSTAS

Nessa sessão e nas próximas, score é a métrica de acerto do dado definida na regressão logística [11], [12] e da rede neural [11], [13] como o resultado da função de acurácia [14], que é calculada pela razão quantidade de acertos da rede e o número total de amostras testadas, tal como a fórmula abaixo descreve:

$$acuracia(y, y') = \sum_{i=1}^{n_{amostra}} \begin{cases} 1, & \text{se } y_i = y'_i \\ 0, & \text{se } y_i \neq y'_i \end{cases}$$

##### A. Regressão logística com um contra todos

A regressão logística é comumente usado pra classificação binária, seu valor de retorno pode ser interpretado como uma probabilidade. No caso como temos dez classes usamos a regressão logística com a estratégia de um versus todos, em que treinamos 10 classificadores binários que irão dar seu score para cada imagem avaliada, o classificador que dar o maior score será o que decidirá a classe da imagem. Para usar a regressão logística nós utilizamos o `sklearn.linear_model.LogisticRegression` do `sklearn` com os parâmetro `n_jobs = -1` e `solver="saga"` que obtivemos os melhores resultados.

1) *Sem PCA*: Como descrito acima o melhor resultado foi obtido com o parâmetro `solver=saga` que obtivemos 0.3885 na validação e 0.3938 nos testes.

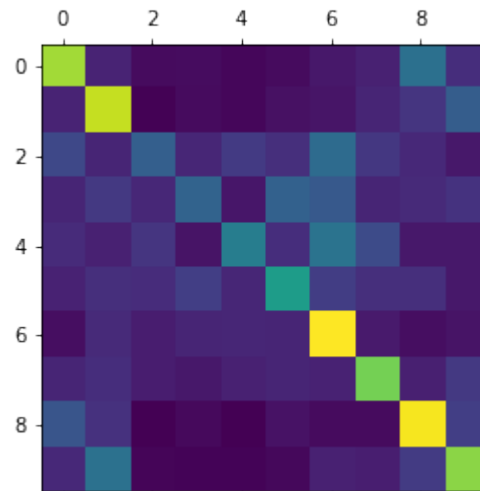
2) *Com PCA*: Com PCA de 0.93 que, como visto na tabela 1, gerou o melhor resultado tanto com relação ao tempo computacional quanto ao *score*. Na validação, obtivemos 0.4001 nos testes obtivemos 0.4011 de *score*.

##### B. Regressão logística multinomial

A regressão logística multinomial é utilizada para também para classificação multiclasse mas diferente da regressão logística um versus todos a multinomial suporta múltiplas classes diretamente usando a função softmax, dada um instancia  $x$  ela computa os scores  $Sk(X)$  para cada classe  $k$ , então estima a probabilidade de cada classe aplicando a função softmax. Nós utilizamos novamente `sklearn.linear_model.LogisticRegression` mas com o parâmetro `multi_class='multinomial'` do `sklearn`.

1) *Sem PCA*: Nós obtivemos um *score* de 0.3893 na validação e 0.3975 nos testes.

2) *Com PCA*: Nós obtivemos um *score* de 0.406 na validação e 0.4022 nos testes.



**Figura 2:** Tabela de confusão do modelo multinomial com PCA

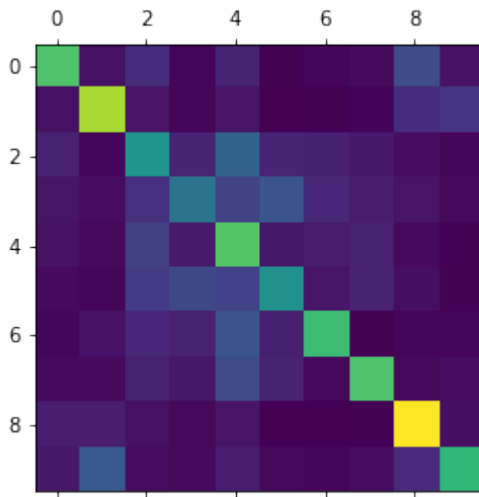
##### C. Redes neurais artificiais com uma camada oculta

Um modelo relativamente simples de redes neurais conta com apenas uma camada oculta. Nesse modelo, as principais escolhas de hiperparâmetros são: o número de neurônios, a função de custo e a função de ativação. O *momentum* e *learning rate* foram mantidos com o valor padrão do `sklearn`: respectivamente 0.9 e 0.001. Para este treinamento, usamos a função `sklearn.neural_network.MLPClassifier`. A função minimizadora de custo `lbfgs` (algoritmo de Broyden-Fletcher-Goldfarb-Shanno de memória limitada) é um metodo iterativo quase-Newton. A ativação logística (ou sigmoid) é uma função utilizada para introduzir uma "não linearidade" no modelo neural.

1) *Sem PCA*: Rodamos várias combinações de funções de ativação, funções de custo de números de neurônios. Os resultados dos experimentos podem ser vistos no apêndice. Após uma primeira bateria de testes (Tabela 2) percebemos que a melhor combinação era ativação logística e função de custo *lbfgs*. Rodamos então uma nova bateria de testes, explorando mais essa combinação e chegando no melhor modelo obtido sem PCA foi com a seguinte configuração: 2700 neurônios, função de ativação logística, função de custo *lbfgs*, obtendo um *score* de 0.5109 na validação e **0.5095** no conjunto de teste.

2) *Com PCA*: Com PCA, os tempos de treino caíram consideravelmente, como esperado. Porém, não conseguimos encontrar um resultado melhor nos testes com validação do que o encontrado nos treinamentos sem PCA, ao contrário do que aconteceu na regressão logística. Após diversos experimentos com um conjunto de validação, chegamos na seguinte configuração: 5000 neurônios, ativação *ReLU* e função de

custo *adam*. Os resultados podem ser vistos na tabela 3 no apêndice. O score na validação foi de 0.4399 e nos testes **0.4814**.



**Figura 3:** Tabela de confusão do modelo de uma camada com PCA

A função de ativação ReLU é geralmente a mais recomendada por funcionar bem na prática e tem a vantagem de ser mais rápida computacionalmente. [6] *Adam*, um acrônimo de *adaptive moment estimation* é uma função custo que também é recomendada na maioria dos casos e tende a funcionar bem na prática e combina a ideia de duas outras funções de otimização: *Momentum optimization* e *RMSProp*. [6]

#### D. Redes neurais artificiais com duas camadas ocultas

Um modelo mais complexo e que permite uma variabilidade maior de parâmetros e resultados é uma rede neural de camada dupla. Com ela, conseguimos modelar melhor cada camada em busca de um modelo mais preciso. Contudo, com isso também aumenta a complexidade computacional e os modelos demoram consideravelmente mais para serem treinados.

1) *Sem PCA*: Após uma diversidade de testes usando o conjunto de testes sem PCA, notamos um tempo de treinamento muito longo e resultados de scores muito baixos. Os resultados dos testes na validação podem ser vistos no apêndice. O melhor modelo de camada dupla sem PCA teve um score de 0.415 na validação.

2) *Com PCA*: Com PCA, os treinamentos rodaram de maneira significativamente melhor e puderam ser melhor explorados. O melhor modelo de camada dupla com PCA obteve um score de 0.4736 na validação e tinha 8000 neurônios na primeira camada e 8000 na segunda camada.

### V. RESULTADOS

#### A. Regressão logística

Na regressão logística nós obtivemos um aumento significativo do scores e uma diminuição grande no tempo computacional despendido para o calculo do regressão logística de tanto a normal quanto a multinomial, chegando próximo a 10 vezes em alguns casos. Como visto no item quatro tivemos

um aumento do score de 0.3938 para 0.4011 nos testes no caso da regressão logística um contra todos. Mas não houve muita diferença entre os métodos de regressão, obtendo scores muito próximos.

#### B. Redes neurais artificiais

Apesar do modelo de duas camadas ser mais complexo e admitir mais possibilidades e, apesar do uso de PCA ter se mostrado promissor em regressão logística, o melhor modelo encontrado de redes neurais foi o de uma camada com 2700 neurônios, obtendo um score final de 0.5095. O modelo de duas camadas parecia promissor, porem, conforme os resultados no apêndice, não encontramos uma combinação que trouxesse resultados relevantes.

### VI. CONCLUSÃO

De todos os modelos testados o que obteve o melhor resultado foi a rede neural sem PCA, com 2700 neurônios na camada escondida e com o learning rate de 0.001, que se mostrou superior a alternativa de regressão logística, rede neural com de uma camada com PCA e a rede neural com duas camadas escondidas com PCA. Pela matriz de confusão é possível observar que nosso modelo consegue acertar bem as classes 8 e 2 respectivamente, para um estudo futuro é interessante saber o motivo pelo qual esse modelo acerta mais consistentemente essas classes e não as demais. Com mais mais tempo e poder de processamento acreditamos ser possível melhorar a acurácia do nosso modelo.

### VII. ESTUDOS FUTUROS

Como mostrado em [15], para se obter resultados de precisão acima de 75%, é necessário utilizar outras técnicas que não foram abordadas nesse estudo, como redes convolucionais, aprendizado profundo e redes bayesianas. Um próximo passo do estudo seria analisar essas técnicas e tentar obter resultados melhores do que os obtidos aqui.

### REFERENCES

- [1] Lu, D., & Weng, Q. (2007). A survey of image classification methods and techniques for improving classification performance. *International journal of Remote sensing*, 28(5), 823-870.
- [2] [http://rodrigob.github.io/are\\_we\\_there\\_yet/build/classification\\_datasets\\_results.html](http://rodrigob.github.io/are_we_there_yet/build/classification_datasets_results.html)
- [3] Kang, T. (2015). Using Neural Networks for Image Classification.
- [4] <http://www.image-net.org/challenges/LSVRC/>
- [5] Krizhevsky, A., Sutskever, I., & Hinton, G. E. (2012). Imagenet classification with deep convolutional neural networks. In *Advances in neural information processing systems* (pp. 1097-1105).
- [6] Geron, A. (2017). *Hands-on machine learning with Scikit-Learn and TensorFlow: concepts, tools, and techniques to build intelligent systems*.
- [7] <http://www.cs.toronto.edu/~kriz/cifar.html>
- [8] Scikit-learn: Machine Learning in Python, acessado em 31 de Agosto de 2017, em <http://scikit-learn.org/stable/index.html>
- [9] <http://scikit-learn.org/stable/modules/decomposition.html#pca>
- [10] Krizhevsky, A., & Hinton, G. (2010). Convolutional deep belief networks on cifar-10. Unpublished manuscript, 40.
- [11] <https://github.com/scikit-learn/scikit-learn/blob/ef5cb84a/sklearn/base.py#L322>
- [12] [http://scikit-learn.org/stable/modules/generated/sklearn.linear\\_model.LogisticRegression.html](http://scikit-learn.org/stable/modules/generated/sklearn.linear_model.LogisticRegression.html)

- [13] [http://scikit-learn.org/stable/modules/generated/sklearn.neural\\_network.MLPClassifier.html#sklearn.neural\\_network.MLPClassifier.score](http://scikit-learn.org/stable/modules/generated/sklearn.neural_network.MLPClassifier.html#sklearn.neural_network.MLPClassifier.score)
- [14] [http://scikit-learn.org/stable/modules/model\\_evaluation.html#accuracy-score](http://scikit-learn.org/stable/modules/model_evaluation.html#accuracy-score)
- [15] [http://rodrigob.github.io/are\\_we\\_there\\_yet/build/classification\\_datasets\\_results.html#43494641522d3130](http://rodrigob.github.io/are_we_there_yet/build/classification_datasets_results.html#43494641522d3130)

## VIII. APÊNDICES

### A. Resultados dos experimentos com redes neurais artificiais com uma camada

1) *Sem PCA*: Usando 80% do conjunto de treino como treinamento e 20% como validação. Obtivemos os seguintes *scores* com a função `MLPClassifier` e seus respectivos parâmetros:

Neuronios	Ativação	Func. Custo	Score
300	relu	adam	<b>0.1003</b>
300	logistic	adam	<b>0.1003</b>
300	relu	lbfgs	<b>0.1094</b>
300	logistic	lbfgs	<b>0.428</b>
1100	relu	adam	<b>0.1819</b>
1100	logistic	adam	<b>0.1001</b>
1100	relu	lbfgs	<b>0.1163</b>
1100	logistic	lbfgs	<b>0.4726</b>
1900	relu	adam	<b>0.1817</b>
1900	logistic	adam	<b>0.1447</b>
1900	relu	lbfgs	<b>0.1554</b>
<b>1900</b>	<b>logistic</b>	<b>lbfgs</b>	<b>0.4946</b>

Tabela 2. Resultados da seção IV-C-1

Neurônios	Ativação	Func. Custo	Score
100	logistic	lbfgs	<b>0.3583</b>
300	logistic	lbfgs	<b>0.4135</b>
500	logistic	lbfgs	<b>0.4306</b>
700	logistic	lbfgs	<b>0.4602</b>
900	logistic	lbfgs	<b>0.4553</b>
1100	logistic	lbfgs	<b>0.4708</b>
1300	logistic	lbfgs	<b>0.4918</b>
1500	logistic	lbfgs	<b>0.4906</b>
1700	logistic	lbfgs	<b>0.4913</b>
1900	logistic	lbfgs	<b>0.4952</b>
2100	logistic	lbfgs	<b>0.4982</b>
2300	logistic	lbfgs	<b>0.5076</b>
2500	logistic	lbfgs	<b>0.5082</b>
<b>2700</b>	<b>logistic</b>	<b>lbfgs</b>	<b>0.5109</b>
2900	logistic	lbfgs	<b>0.5082</b>

Tabela 3. Resultados da seção IV-C-1

2) *Com PCA*: Mesmos testes do item anterior, porém com PCA:

Neurônios	Ativação	Func. Custo	Score	Loss
700	relu	lbfgs	<b>0.1827</b>	
1600	relu	lbfgs	<b>0.2204</b>	
1900	relu	lbfgs	<b>0.2393</b>	
400	logistic	adam	<b>0.3292</b>	
100	logistic	adam	<b>0.3346</b>	
100	relu	adam	<b>0.3348</b>	
700	logistic	lbfgs	<b>0.3507</b>	
400	relu	lbfgs	<b>0.3558</b>	
700	logistic	adam	<b>0.357</b>	
1300	logistic	lbfgs	<b>0.3598</b>	
400	logistic	lbfgs	<b>0.3602</b>	
1000	relu	lbfgs	<b>0.3611</b>	
1000	logistic	lbfgs	<b>0.3615</b>	
100	logistic	lbfgs	<b>0.3675</b>	
1600	logistic	lbfgs	<b>0.3687</b>	
1300	relu	lbfgs	<b>0.3713</b>	
400	relu	adam	<b>0.372</b>	
1000	logistic	adam	<b>0.3753</b>	
1900	logistic	lbfgs	<b>0.3756</b>	
100	relu	lbfgs	<b>0.3825</b>	
2700	logistic	lbfgs	<b>0.3863</b>	
1300	logistic	adam	<b>0.3872</b>	
1900	logistic	adam	<b>0.395</b>	
1600	logistic	adam	<b>0.3976</b>	
700	relu	adam	<b>0.3982</b>	
1000	relu	adam	<b>0.4116</b>	
1300	relu	adam	<b>0.4148</b>	
1600	relu	adam	<b>0.4183</b>	
1900	relu	adam	<b>0.4262</b>	
1700	relu	adam	<b>0.3942</b>	
1800	relu	adam	<b>0.3985</b>	1.42108
2300	relu	adam	<b>0.4116</b>	1.58253
10000	relu	adam	<b>0.4118</b>	2.9910
2200	relu	adam	<b>0.4129</b>	1.6623
5500	relu	adam	<b>0.4184</b>	2.26290
2700	relu	adam	<b>0.4182</b>	1.6228
2000	relu	adam	<b>0.42</b>	1.50397
4000	relu	adam	<b>0.4207</b>	2.7562
2100	relu	adam	<b>0.4234</b>	1.56066
7500	relu	adam	<b>0.4274</b>	2.64004
6000	relu	adam	<b>0.4336</b>	2.2307
<b>5000</b>	<b>relu</b>	<b>adam</b>	<b>0.4399</b>	<b>1.9009</b>

Tabela 4. Resultados da seção IV-C-2

### B. Resultados dos experimentos com redes neurais artificiais com uma camada

1) *Sem PCA*: Para simplificar o tamanho da tabela, resultados com *score* abaixo de 0.2 foram omitidos.

Camada 1	Camada 2	Ativação	F. custo	Score
100	100	relu	adam	0.2913
100	100	relu	lbfgs	0.2743
100	100	logistic	lbfgs	0.3253
100	400	relu	adam	0.262
100	400	relu	lbfgs	0.2431
100	400	logistic	lbfgs	0.3156
100	700	logistic	lbfgs	0.3186
100	1000	relu	lbfgs	0.2619
100	1000	logistic	lbfgs	0.3074
100	1300	relu	lbfgs	0.2714
100	1300	logistic	lbfgs	0.2905
100	1600	relu	lbfgs	0.2652
100	1600	logistic	lbfgs	0.2893
100	1900	logistic	lbfgs	0.2972
400	100	relu	lbfgs	0.2643
400	100	logistic	lbfgs	0.3697
400	400	relu	lbfgs	0.2766
400	400	logistic	lbfgs	0.3868
400	700	relu	adam	0.2726
400	700	relu	lbfgs	0.2541
400	700	logistic	lbfgs	0.3744
400	1000	relu	lbfgs	0.2709
400	1000	logistic	lbfgs	0.3742
400	1300	relu	lbfgs	0.2849
400	1300	logistic	lbfgs	0.3614
400	1600	relu	lbfgs	0.3043
400	1600	logistic	lbfgs	0.3615
400	1900	relu	lbfgs	0.2843
400	1900	logistic	lbfgs	0.367
700	100	logistic	lbfgs	0.3756
700	400	relu	adam	0.3409
700	400	logistic	lbfgs	0.4129
700	700	relu	adam	0.3232
700	700	relu	lbfgs	0.2896
700	700	logistic	lbfgs	0.4057
700	1000	relu	adam	0.2741
700	1000	logistic	lbfgs	0.4023
700	1300	logistic	lbfgs	0.4062
700	1600	relu	lbfgs	0.3064
700	1600	logistic	lbfgs	0.3989
700	1900	relu	lbfgs	0.3077
700	1900	logistic	lbfgs	0.3945
<b>1000</b>	<b>100</b>	<b>logistic</b>	<b>lbfgs</b>	<b>0.415</b>

**Tabela 5.** Resultados da seção IV-D-1

Camada 1	Camada 2	Ativação	F. custo	Score
300	600	relu	adam	0.3681
300	600	logistic	adam	0.3467
300	600	logistic	lbfgs	0.3721
300	1400	relu	adam	0.3796
300	1400	logistic	adam	0.3497
300	1400	relu	lbfgs	0.3551
300	1400	logistic	lbfgs	0.3678
500	500	relu	adam	0.3453
600	1400	relu	adam	0.3808
800	600	relu	adam	0.3484
800	600	logistic	adam	0.3554
800	600	logistic	lbfgs	0.3436
800	1400	relu	adam	0.3704
800	1400	logistic	adam	0.349
800	1400	relu	lbfgs	0.3684
800	1400	logistic	lbfgs	0.3394
1400	600	relu	adam	0.3762
1400	600	logistic	adam	0.3777
1400	600	relu	lbfgs	0.3895
1400	600	logistic	lbfgs	0.3504
1400	1400	relu	adam	0.3722
1400	1400	logistic	adam	0.381
1400	1400	logistic	lbfgs	0.3529
1875	500	relu	adam	0.3565
2000	3000	relu	adam	0.4256
2000	4000	relu	adam	0.4251
2000	1000	relu	adam	0.3874
2000	2000	relu	adam	0.2691
2000	600	relu	adam	0.3763
2000	600	logistic	adam	0.3867
2000	600	relu	lbfgs	0.3959
2000	600	logistic	lbfgs	0.3554
2000	1400	relu	adam	0.3947
2000	1400	logistic	adam	0.3906
2000	1400	relu	lbfgs	0.3851
2000	1400	logistic	lbfgs	0.352
4000	8000	relu	adam	0.4568
4000	6000	relu	adam	0.451
4000	3000	relu	adam	0.4403
4000	4000	relu	adam	0.4384
4000	1000	relu	adam	0.408
6000	4000	relu	adam	0.4615
6000	1000	relu	adam	0.39
6000	3000	relu	adam	0.2941
<b>8000</b>	<b>8000</b>	<b>relu</b>	<b>adam</b>	<b>0.4736</b>
8000	6000	relu	adam	0.4581

**Tabela 6.** Resultados da seção IV-D-2

2) *Com PCA*: Para simplificar o tamanho da tabela, resultados com *score* abaixo de 0.2 foram omitidos.